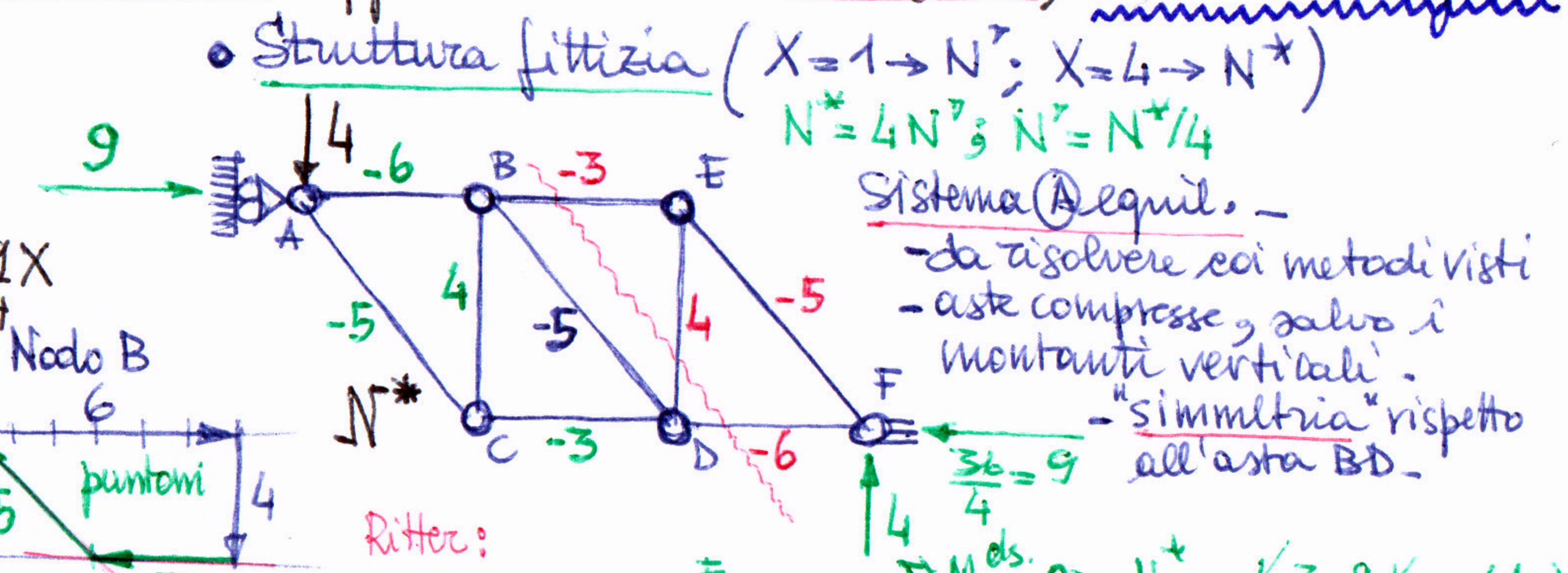


Eq. m di equilibrio:

- $\sum F_x = 0 \rightarrow H_F = H_A \rightarrow H_A = \frac{9}{4} X$
- $\sum F_y = 0 \rightarrow V_F = V_A = X$
- $\sum M_A = 0 \rightarrow V_F \cdot 9b = H_F \cdot 4b \rightarrow H_F = \frac{9}{4} X$



Struttura principale isostatica ($X=0$) $\Rightarrow N_0=0$ (struttura isostatica priva di forze).

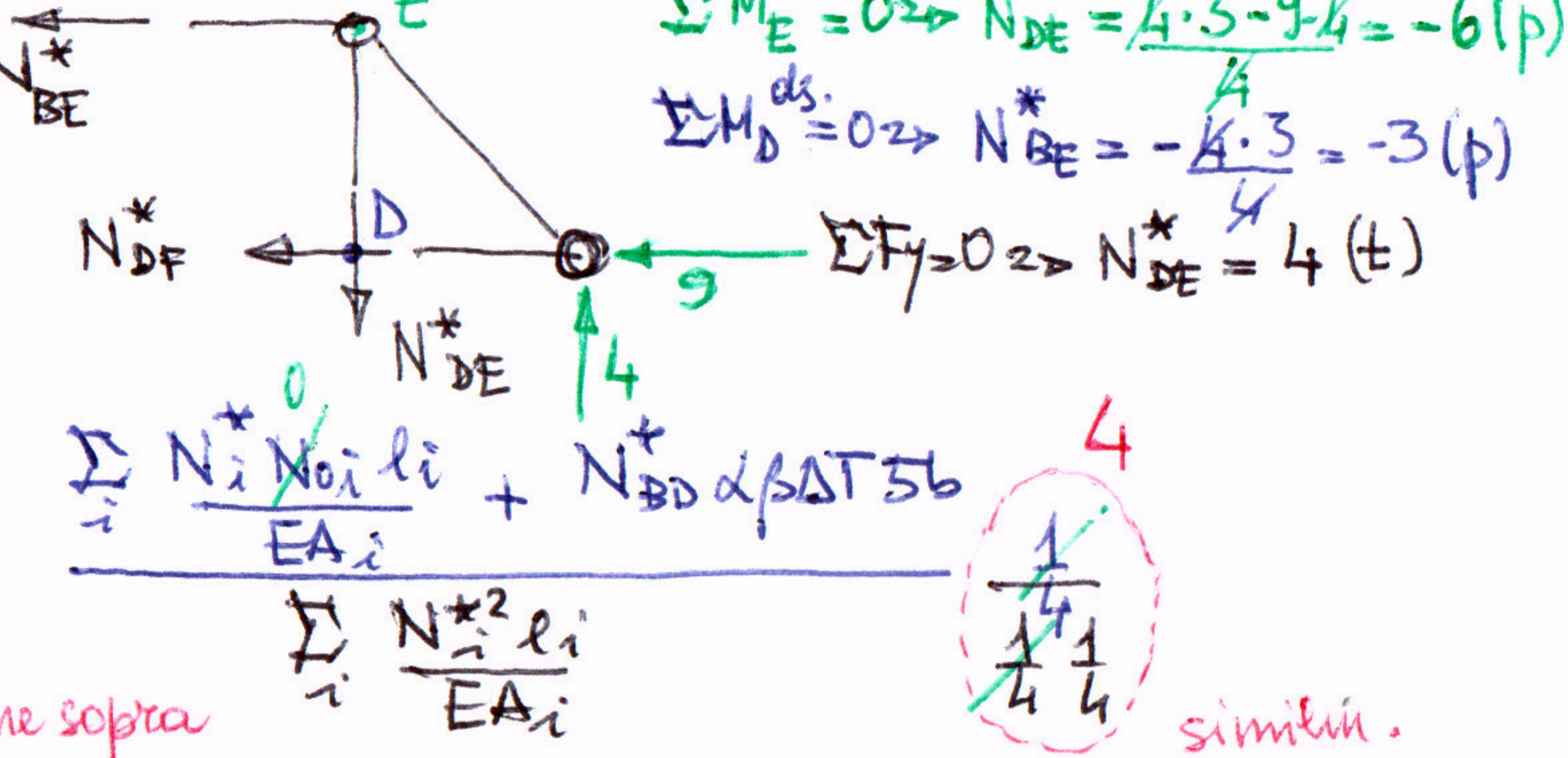
Struttura reale (Sistema B): $N = N_0 + XN^* = N_0 + XN^*/4$

Scrittura del PLV (con $N^* = N^*/4$):

$$1 \cdot 0 = \int_{str} N^* \cdot \frac{N_0 + XN^*}{EA} ds + \int_B N^* \alpha \beta \Delta T ds \Rightarrow X = - \frac{\sum_i \frac{N_i^* N_{0i} l_i}{EA_i} + N_{BD}^* \alpha \beta \Delta T 5b}{\sum_i \frac{N_i^{*2} l_i}{EA_i}}$$

$$4 \cdot 0 = \int_{str} N^* \cdot \frac{N_0 + XN^*}{EA} ds + \int_B N^* \alpha \beta \Delta T ds = \int_{str} 4 N^* \cdot \frac{N_0 + XN^*}{EA} ds + \int_B 4 N^* \alpha \beta \Delta T ds$$

idem come sopra



Adenominatore si ottiene:

$$\sum_i \frac{N_i^{*2} l_i}{EA_i} = \frac{b}{EA} \left(\frac{25 \cdot 5}{2} + 36 \cdot 3 + 16 \cdot 4 + \frac{9 \cdot 3}{2} + \frac{25 \cdot 5}{3} + \frac{9 \cdot 3}{3} + \frac{16 \cdot 4}{4} + \frac{36 \cdot 3}{4} + \frac{25 \cdot 5}{5} \right) = \frac{b}{EA} \left(\frac{25 \cdot 5 \cdot 3 + 9 \cdot 3 \cdot 3 + 25 \cdot 5 \cdot 2}{6} + (9 \cdot 3 + 16 + 4) \cdot 4 + 9 + 27 + 25 \right) = \frac{b}{EA} \left(\frac{25^2 + 9^2}{6} + 47 \cdot 4 + 61 \right) = \frac{b}{EA} \left(\frac{625 + 81}{6} + 249 \right) = \frac{b}{EA} \frac{706 + 1494}{6} = \frac{b}{EA} \frac{2200}{6} = \frac{b}{EA} \frac{1100}{3}$$

Quindi:

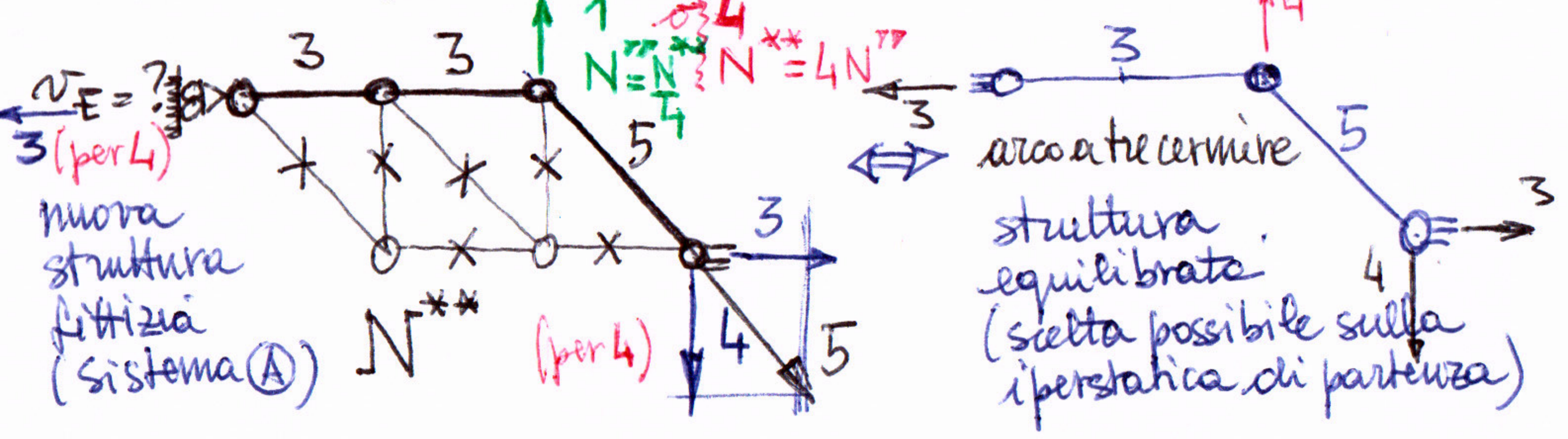
$$X = - \frac{(-5) \alpha \beta \Delta T 5b}{\frac{b}{EA} \frac{1100}{3}} \cdot 4 = \frac{100 \cdot 3}{1100} \alpha \beta \Delta T EA = \frac{3}{11} \alpha \beta \Delta T EA = X$$

Azioni assiali finali:

$$N_i = \frac{X}{4} N_i^* = \frac{3}{44} \alpha \beta \Delta T EA N_i^*$$

(azioni N_i^* già rapp., riscalate di $\frac{X}{4}$)
 aste compresse, salvo i montanti
 \Rightarrow effetto del ΔT positivo e delle deform. cerniere in A e F.

Calcolo di spostamenti nodali (tramite nuova applicazione del PLV). Scrittura del PLV:



$$1 \cdot v_E = \int_{str} N^{**} \frac{N ds}{EA} + N_{BD}^{**} \alpha \beta \Delta T 5b$$

$$v_E = \frac{1}{4} \sum_i N_i^{**} \frac{X N_i^*}{4} \frac{l_i}{EA_i} = \frac{1}{16} X \sum_i N_i^* N_i^{**} \frac{l_i}{EA_i}$$

$$= \frac{1}{16} \frac{3}{11} \alpha \beta \Delta T EA \frac{b}{EA} \left(-3 \cdot 6 \cdot 3 - \frac{3 \cdot 3 \cdot 3}{3} - \frac{5 \cdot 5 \cdot 5}{5} \right)$$

$$= \frac{1}{16} \frac{3}{11} \alpha \beta \Delta T b (63 + 25) = -\frac{3}{2} \alpha \beta \Delta T b = v_E$$

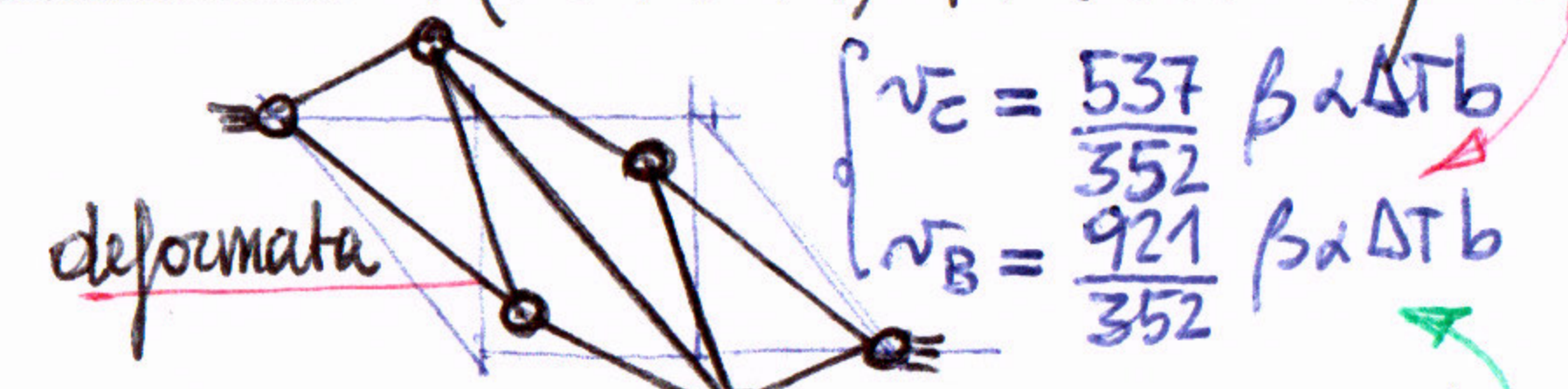
A valle di v_E , calcolo di v_D semplificato:

$$v_E = v_D + \Delta l_{DE} \Rightarrow v_D = v_E - \Delta l_{DE}$$

con $\Delta l_{DE} = \frac{N_{DE} l_{DE}}{EA_{DE}} = \frac{N_{DE} 4b}{4EA}$

$$= \frac{X}{4} \frac{4b}{EA} = \frac{3}{11} \alpha \beta \Delta T b$$

$$v_D = -\left(\frac{3}{2} + \frac{3}{11} \right) \alpha \beta \Delta T b = -\frac{39}{22} \alpha \beta \Delta T b$$



Azioni interne in aste curve (circolari in particolare) → raggio di curvatura costante $r(s)=R$ erizzi@unibp.it

Esempio: Arco a tutto sesto soggetto a carico concentrato in chiave (a spinta orizzontale eliminata).

$L=1$ ipostatica
 $I=0$

asse di simmetria geometrica e di carico

direzioni locali in $P(s)$

Azioni interne all'ascissa s

- $N(s)$ azione assiale o normale (agisce nelle direz. t tangente all'asta)
 - $T(s)$ azione tagliante o taglio (" " " n normale ")
 - $M(s)$ azione flettente o momento flettente
- o $N(\vartheta), T(\vartheta), M(\vartheta)$

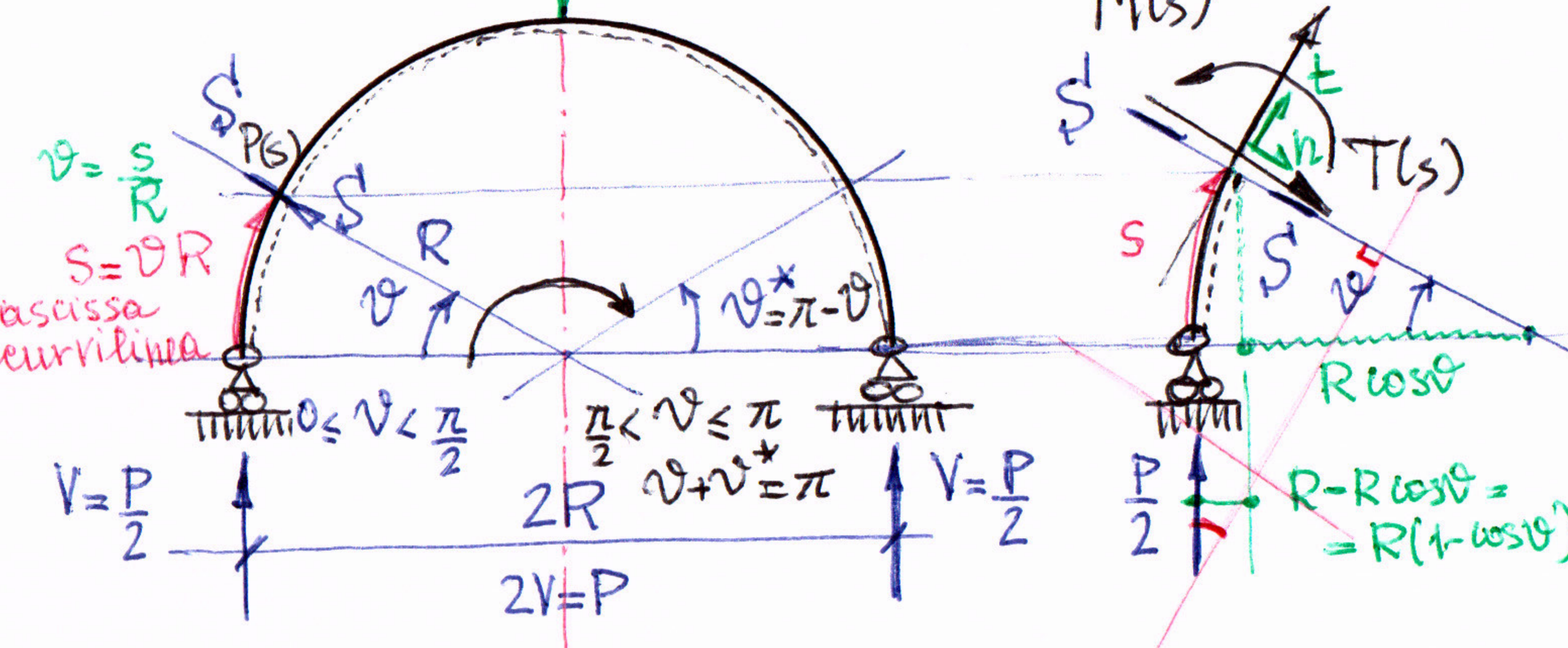
Equazioni di equilibrio: $0 \leq \vartheta < \frac{\pi}{2}$

$$\begin{cases} \sum F_t^{su.} = 0 \Rightarrow N(\vartheta) = -\frac{P}{2} \cos \vartheta \\ \sum F_n^{su.} = 0 \Rightarrow T(\vartheta) = \frac{P}{2} \sin \vartheta \\ \sum M_s^{su.} = 0 \Rightarrow M(\vartheta) = \frac{P}{2} R (1 - \cos \vartheta) \end{cases}$$

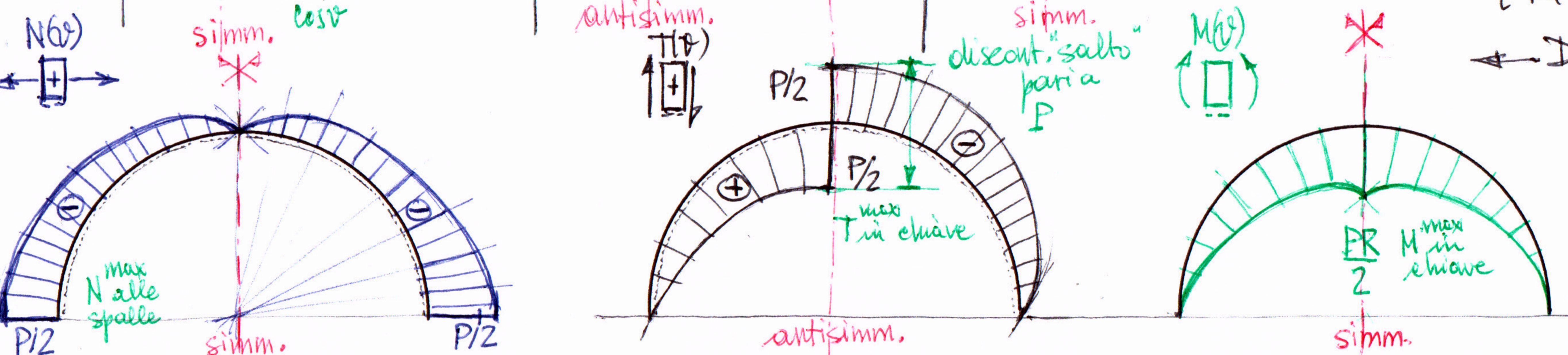
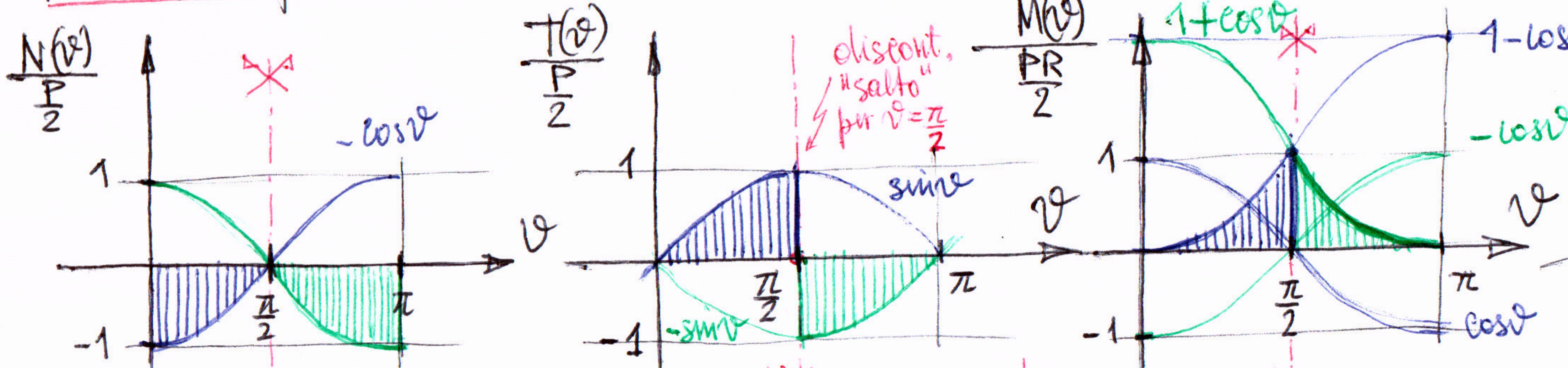
$\vartheta=0$	$\vartheta=\frac{\pi}{2}$	$\vartheta=\frac{\pi}{2}^+$	$\vartheta=\pi$
$-\frac{P}{2}$	0	0	$-\frac{P}{2}$
0	$\frac{P}{2}$	$-\frac{P}{2}$	0
0	$\frac{PR}{2}$	$\frac{PR}{2}$	0

• Per $\frac{\pi}{2} < \vartheta \leq \pi$, vedere $\vartheta^* < \frac{\pi}{2}$ simile a ϑ ma con $T(\vartheta^*)$ cambiato di segno:
 $N(\vartheta^*) = N(\vartheta)$
 $T(\vartheta^*) = -T(\vartheta)$
 $M(\vartheta^*) = M(\vartheta)$
 $\vartheta^* = \pi - \vartheta$

$$\begin{cases} N(\vartheta^*) = -\frac{P}{2} \cos \vartheta^* = \frac{P}{2} \cos \vartheta \\ T(\vartheta^*) = -\frac{P}{2} \sin \vartheta^* = -\frac{P}{2} \sin \vartheta \\ M(\vartheta^*) = \frac{PR}{2} (1 - \cos \vartheta^*) = \frac{PR}{2} (1 + \cos \vartheta) \end{cases}$$



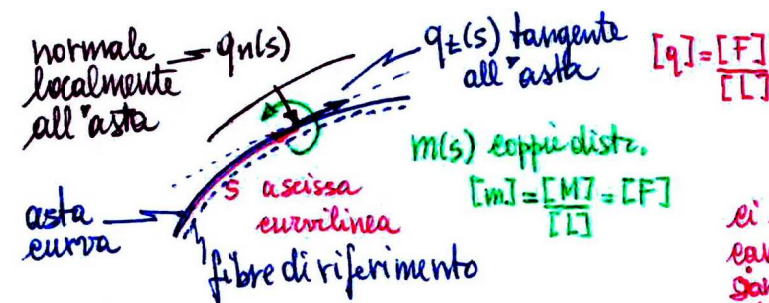
Andamenti funzionali:



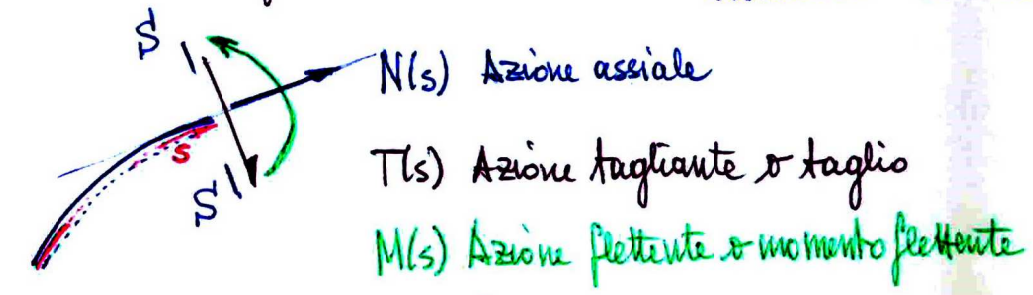
DIAGRAMMI N, T, M (disegnati sulla struttura stessa): curvatura dell'andamento funzionale sommate alle curvatura delle linee d'asse

N.B.: risulta $\begin{cases} N(\vartheta) = T(\vartheta^*) \\ T(\vartheta) = -N(\vartheta^*) \\ M(\vartheta) = R T(\vartheta^*) \end{cases}$ è generale? v. prox. let. 11a(2)

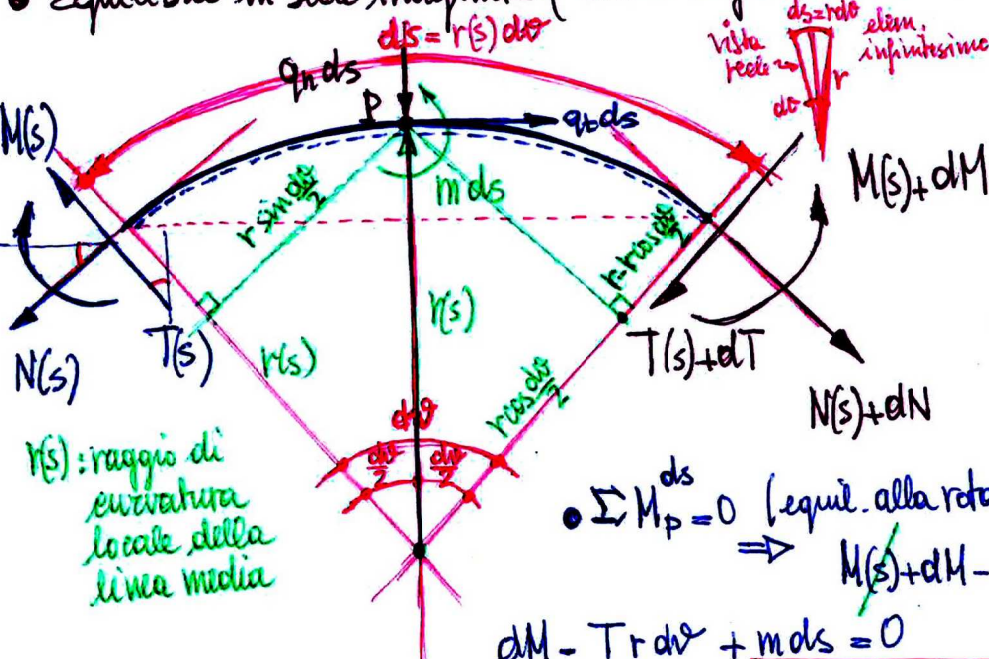
- Carichi distribuiti potenzialmente presenti :
- Azioni interne nella generica sezione S-S: luigi@unibg.it



si chiede come carichi ed azioni sono correlati (staticamente)



- Equilibrio in sede indefinita (concio infinitesimo di asta curva):



$\Sigma F_x = 0 \Rightarrow [N(s) + dN - N(s)] \cos \frac{d\theta}{2} - 2T \sin \frac{d\theta}{2} - dT \sin \frac{d\theta}{2} + q_t ds = 0$

$\frac{dN}{ds} - \frac{T}{r} + q_t = 0 \Rightarrow \boxed{N'(s) = \frac{dN(s)}{ds} = -q_t(s) + \frac{T(s)}{r(s)}}$

Analogamente:
 $\Sigma F_y = 0 \Rightarrow [T(s) + dT - T(s)] \cos \frac{d\theta}{2} + 2N \sin \frac{d\theta}{2} + dN \sin \frac{d\theta}{2} + q_n ds = 0$

$dT + N d\theta + q_n ds = 0 \Rightarrow \boxed{T'(s) = \frac{dT(s)}{ds} = -q_n(s) - \frac{N(s)}{r(s)}}$

$\Sigma M_P = 0 \Rightarrow [M(s) + dM - M(s)] - 2T r \sin \frac{d\theta}{2} - dT r \sin \frac{d\theta}{2} - [N(s) + dN - N(s)] r (1 - \cos \frac{d\theta}{2}) + m ds = 0$

$dM - T r d\theta + m ds = 0 \Rightarrow \boxed{M'(s) = \frac{dM(s)}{ds} = -m(s) + T(s)}$

Per ulteriore derivazione:

$M''(s) = -m'(s) + T'(s) = -m'(s) - q_n(s) - \frac{N(s)}{r(s)}$

$= -(m'(s) + q_n(s)) - \frac{N(s)}{r(s)}$

fermine aggiuntive per N(s) rispetto al caso di aste rettilinee (r(s) → ∞)

per $m=0, q_n=0$
 $N' = -\frac{T}{r}, T' = -\frac{N}{r}$

aste circolari: $r(s) = R$

$\frac{d}{ds} = \frac{1}{R} \frac{d}{d\theta}$

$\begin{cases} N(s) = -q_t(s) + \frac{T(s)}{R} \\ T'(s) = -q_n(s) - \frac{N(s)}{R} \\ M'(s) = -m(s) + T(s) \end{cases}$

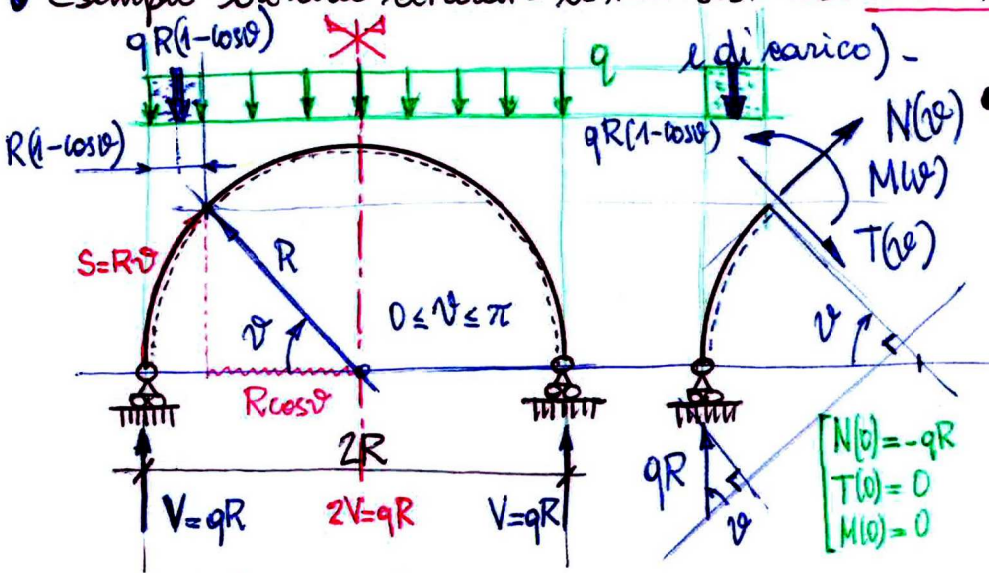
$M''(s) = -m'(s) + q_n(s) - \frac{N(s)}{R}$

Nel caso di aste rettilinee (r(s) → ∞) si riottiene:

$\begin{cases} N'(s) = -q_t(s) \\ T'(s) = -q_n(s) \\ M'(s) = -m(s) + T(s) \end{cases}$

e $M''(s) = -(m'(s) + q_n(s))$

• Esempio di arco circolare a tutto sesto con carico uniformemente distribuito (configurazione simmetrica e geometrica e igid. rizzi@uni.bg.it di carico)

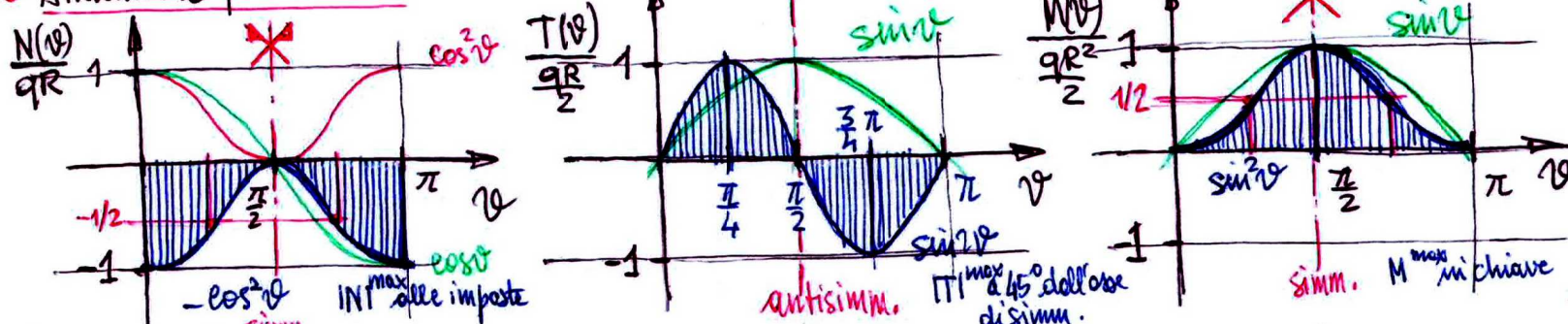


• Azioni interne alla generica ascissa curvilinea $s = R\vartheta$, ϑ anomalia $\vartheta = \frac{s}{R}$. Determinazione per equilibrio diretto:

$$\begin{cases} N(\vartheta) = -qR \cos \vartheta + qR(1-\cos \vartheta) \cos \vartheta = -qR \cos^2 \vartheta = N(\vartheta) \rightarrow N(\vartheta) = qR \sin 2\vartheta = qR \sin 2\vartheta \\ T(\vartheta) = qR \sin \vartheta - qR(1-\cos \vartheta) \sin \vartheta = \frac{qR}{2} \sin 2\vartheta \cos \vartheta = \frac{qR}{2} \sin 2\vartheta = T(\vartheta) \\ M(\vartheta) = qR R(1-\cos \vartheta) - qR(1-\cos \vartheta) \frac{R(1-\cos \vartheta)}{2} = \frac{qR^2}{2} (1-\cos \vartheta) (2-1+\cos \vartheta) = \frac{qR^2}{2} (1-\cos \vartheta)(1+\cos \vartheta) \\ = \frac{qR^2}{2} (1-\cos^2 \vartheta) = \frac{qR^2}{2} \sin^2 \vartheta = M(\vartheta) \end{cases}$$

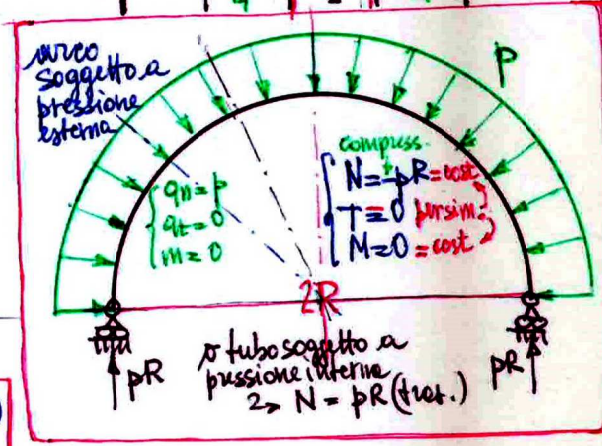
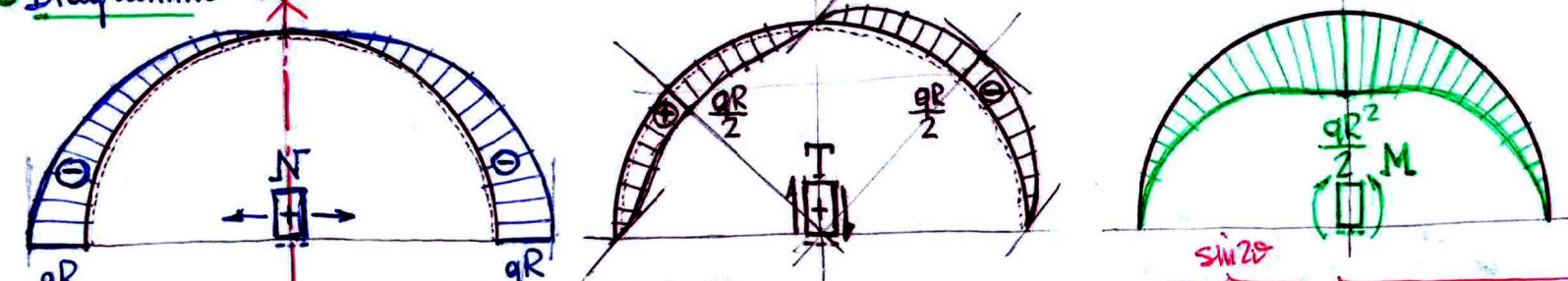
Valori caratteristici

• Andamenti funzionali



ϑ	0	$\frac{\pi}{4}$	$\frac{\pi}{2}$	$\frac{3\pi}{4}$	π
N	-qR	$-\frac{qR}{2}$	0	$-\frac{qR}{2}$	-qR
T	0	$\frac{qR}{2}$	0	$-\frac{qR}{2}$	0
M	0	$\frac{qR^2}{4}$	$\frac{qR^2}{2}$	$\frac{qR^2}{4}$	0

• Diagrammi



• Oppure, da integrazione delle eq. in indefinite:

$$\begin{cases} N'(\vartheta) = -q_t R + T \\ T'(\vartheta) = -q_n R - N \\ M'(\vartheta) = -M R + T R \end{cases}$$

$q_t = -\frac{q dx}{ds} \cos \vartheta = -\frac{q}{2} \sin 2\vartheta \cos \vartheta = -\frac{q}{2} \sin 2\vartheta = q_t(\vartheta)$
 $q_n = \frac{q dx}{ds} \sin \vartheta = q \sin \vartheta \cos \vartheta = q \sin^2 \vartheta = q_n(\vartheta)$
 $T'' = -q_n R - (-q_t R + T) \Rightarrow T'' + T = (q_t - q_n) R = -\frac{3}{2} q R \sin 2\vartheta \Rightarrow T = A \sin 2\vartheta + B \cos 2\vartheta + \frac{qR}{2} \sin 2\vartheta$
 e.e. $T(0) = B = 0, T(\pi) = A + qR = \frac{qR}{2} \Rightarrow A = -\frac{qR}{2}$